

## Atividade 2

# Propagação de uma trinca em uma barra 1D de seção variável

---

Renan Miranda Portela

3 de dezembro de 2018

### 1 OBJETIVO

O objetivo desta atividade é verificar a propagação do dano em uma seção I tracionada na ausência de um dano concentrado inicial e através das equações de movimento e dano.

### 2 METODOLOGIA

A equação 2.1 é referente a equação do movimento.

$$\rho_0 \ddot{u}_0 = \operatorname{div}_p [F(1 - \varphi)^2 KE] + \rho_0 f_0 \quad (2.1)$$

No caso de um movimento quasi-estático e sem força de corpo, consideramos a aceleração e o termo  $\rho_0 f_0$  como sendo nulos como mostra a equação 2.2.

$$0 = \operatorname{div}_p [F(1 - \varphi)^2 KE] \quad (2.2)$$

Fazendo a aproximação para pequenas deformações.

$$[F][E] \simeq [E] \quad (2.3)$$

Substituindo a equação 2.3 na equação 2.2

$$0 = \text{div}_p[(1 - \varphi)^2 KE]$$

Aplicando resíduos ponderados para fazer a formulação fraca primeiramente

$$0 = \int_{\Omega} \text{div}_p[(1 - \varphi)^2 KE] w(p) d\Omega$$

Aplicando integração por partes

$$\int_{\partial\Omega} (1 - \varphi)^2 C : \epsilon(u_0) N w(p) dS - \int_{\Omega} [(1 - \varphi)^2 KE] \frac{dw(p)}{dp} d\Omega = 0$$

Consideramos o termo de fronteira como sendo o vetor força  $\hat{f}$ .

$$\hat{f} = \int_{\partial\Omega} (1 - \varphi)^2 C : \epsilon(u_0) N w(p) dS$$

Forçamos o vetor força como sendo igual a força no último nó como mostrado no vetor 2.4 de tamanho  $n \times 1$  sendo  $n$  o número de nós.

$$\hat{f} = \begin{bmatrix} 0 \\ 0 \\ \vdots \\ -1000 \end{bmatrix}_{n \times 1} \quad (2.4)$$

$$\int_{\Omega} [(1 - \varphi_{n-1})^2 K \frac{\partial u_n}{\partial p}] \frac{dw(p)}{dp} d\Omega = \hat{f}$$

Tornando a formulação unidimensional, encontramos:

$$\int_L \int_{\Omega(p_1)} [(1 - \varphi_{n-1})^2 K \frac{\partial u_n}{\partial p}] \frac{dw(p)}{dp} dp_1 dp_2 dp_3 = \hat{f}$$

$$\int_L [(1 - \varphi_{n-1})^2 K \frac{\partial u_n}{\partial p}] \frac{dw(p)}{dp} dp_1 \int_{\Omega(p_1)} dp_2 dp_3 = \hat{f}$$

$$\int_L [(1 - \varphi_{n-1})^2 K \frac{\partial u_n}{\partial p}] \frac{dw(p)}{dp} dp_1 A(p_1) = \hat{f}$$

Sendo  $K$  e  $A$  consideradas constantes no elemento:

$$KA \int_L [(1 - \varphi_{n-1})^2 \frac{\partial u_n}{\partial p}] \frac{dw(p)}{dp} dp_1 = \hat{f}$$

$$[K_g] = A_{i=1}^{nel} [K_e]$$

$$[K_g][\hat{u}] = \hat{f}$$

$$[K_e] = KA^e \int_L (1 - [N][\hat{\varphi}_{n-1}])^2 [B]^T [B] dp$$

$$[K_e] = \frac{KA^e}{L^e} \int_{-1}^1 (1 - [N]\hat{\varphi})^2 [B]^T [B] \det(J) d\xi \quad (2.5)$$

Para um elemento unidimensional de três nós:

$$[N] = \left[ \frac{-1}{2}\xi(1-\xi), (1-\xi^2), \frac{1}{2}\xi(1+\xi) \right]$$

$$[B] = \left[ \frac{-1}{2} + \xi, -2\xi, \frac{1}{2} + \xi \right]$$

$$\det(J) = [B] \begin{bmatrix} x_1 \\ x_2 \\ x_3 \end{bmatrix}$$

Apresentando a equação do dano (2.6).

$$\lambda_1 \dot{\varphi} = \text{div}_p [g_c \gamma \nabla_p \varphi_0] + (1 - \varphi_0) K |E|^2 - \frac{g_c}{\gamma} \varphi_0 \quad (2.6)$$

Discretizando o termo do dano em relação ao tempo, encontramos (2.7).

$$\dot{\varphi} = \frac{\varphi_n - \varphi_{n-1}}{\Delta t} \quad (2.7)$$

$$\lambda_1 \frac{\varphi_n - \varphi_{n-1}}{\Delta t} = \text{div}_p [g_c \gamma \nabla_p \varphi_n] + (1 - \varphi_{n-1}) K |E|^2 - \frac{g_c}{\gamma} \varphi_n$$

$$\varphi_n - \varphi_{n-1} = \frac{\Delta t}{\lambda_1} \text{div}_p [g_c \gamma \nabla_p \varphi_n] + \frac{\Delta t K |E|^2}{\lambda_1} (1 - \varphi_{n-1}) - \frac{g_c \Delta t}{\gamma \lambda_1} \varphi_n$$

$$\varphi_n + \frac{g_c \Delta t}{\gamma \lambda_1} \varphi_n - \frac{g_c \gamma \Delta t}{\lambda_1} \text{div}_p [\nabla_p \varphi_n] = \varphi_{n-1} + \frac{\Delta t K |E|^2}{\lambda_1} (1 - \varphi_{n-1})$$

$$\begin{aligned} \int_{\Omega} \varphi_n w d\Omega + \int_{\Omega} \frac{g_c \Delta t}{\gamma \lambda_1} \varphi_n w d\Omega - \int_{\Omega} \frac{g_c \gamma \Delta t}{\lambda_1} \text{div}_p [\nabla_p \varphi_n] w d\Omega = \\ \int_{\Omega} \varphi_{n-1} w d\Omega + \int_{\Omega} \frac{\Delta t K |E|^2}{\lambda_1} (1 - \varphi_{n-1}) w d\Omega \end{aligned}$$

$$\begin{aligned} \int_{\Omega} \varphi_n w d\Omega + \frac{g_c \Delta t}{\gamma \lambda_1} \int_{\Omega} \varphi_n w d\Omega - \frac{g_c \gamma \Delta t}{\lambda_1} \int_{\Omega} \text{div}_p [\nabla_p \varphi_n] w d\Omega = \\ \int_{\Omega} \varphi_{n-1} w d\Omega + \frac{\Delta t K}{\lambda_1} \int_{\Omega} |E|^2 (1 - \varphi_{n-1}) w d\Omega \end{aligned}$$

$$\begin{aligned} \int_{\Omega} \varphi_n w d\Omega + \frac{g_c \Delta t}{\gamma \lambda_1} \int_{\Omega} \varphi_n w d\Omega - \frac{g_c \gamma \Delta t}{\lambda_1} \left[ \int_{\partial\Omega} [\nabla_p \varphi_n \cdot N] w dS - \int_{\Omega} [\nabla_p \varphi_n] \frac{dw(p)}{dp} d\Omega \right] = \\ \int_{\Omega} \varphi_{n-1} w d\Omega + \frac{\Delta t K}{\lambda_1} \int_{\Omega} |E|^2 (1 - \varphi_{n-1}) w d\Omega \end{aligned}$$

Sendo o fluxo no contorno nulo como mostra na equação (2.8).

$$\int_{\partial\Omega} [\nabla_p \varphi_n \cdot N] w dS = 0 \quad (2.8)$$

$$\begin{aligned} \int_{\Omega} \varphi_n w d\Omega + \frac{g_c \Delta t}{\gamma \lambda_1} \int_{\Omega} \varphi_n w d\Omega + \frac{g_c \gamma \Delta t}{\lambda_1} \int_{\Omega} [\nabla_p \varphi_n] \frac{dw(p)}{dp} d\Omega = \\ \int_{\Omega} \varphi_{n-1} w d\Omega + \frac{\Delta t K}{\lambda_1} \int_{\Omega} |E|^2 (1 - \varphi_{n-1}) w d\Omega \end{aligned}$$

Fazendo a formulação unidimensional

$$\begin{aligned} \int_L \int_{\Omega(p_1)} \varphi_n w dp_1 dp_2 dp_3 + \frac{g_c \Delta t}{\gamma \lambda_1} \int_L \int_{\Omega(p_1)} \varphi_n w dp_1 dp_2 dp_3 + \frac{g_c \gamma \Delta t}{\lambda_1} \int_L \int_{\Omega(p_1)} [\nabla_p \varphi_n] \frac{dw(p)}{dp} dp_1 dp_2 dp_3 = \\ \int_L \int_{\Omega(p_1)} \varphi_{n-1} w dp_1 dp_2 dp_3 + \frac{\Delta t K}{\lambda_1} \int_L \int_{\Omega(p_1)} |E|^2 (1 - \varphi_{n-1}) w dp_1 dp_2 dp_3 \end{aligned}$$

$$\begin{aligned} \int_L A \varphi_n w dp_1 + \frac{g_c \Delta t}{\gamma \lambda_1} \int_L A \varphi_n w dp_1 + \frac{g_c \gamma \Delta t}{\lambda_1} \int_L A [\nabla_p \varphi_n] \frac{dw(p)}{dp} dp_1 = \\ \int_L A \varphi_{n-1} w dp_1 + \frac{\Delta t K}{\lambda_1} \int_L A |E|^2 (1 - \varphi_{n-1}) w dp_1 \end{aligned}$$

$$\begin{aligned} A \int_L [N] [\hat{\varphi}_n] [N] [\hat{w}] dp_1 + \frac{Ag_c \Delta t}{\gamma \lambda_1} \int_L [N] [\hat{\varphi}_n] [N] [\hat{w}] dp_1 + \frac{Ag_c \gamma \Delta t}{\lambda_1} \int_L [B] [\hat{\varphi}_n] [B] [\hat{w}] dp_1 = \\ A \int_L [N] [\hat{\varphi}_{n-1}] [N] [\hat{w}] dp_1 + \frac{A \Delta t K}{\lambda_1} \int_L [[B] [\hat{u}_n]]^2 (1 - [N] [\hat{\varphi}_{n-1}]) [N] [\hat{w}] dp_1 \end{aligned}$$

$$\begin{aligned} A \int_L [N]^T [N] dp_1 [\hat{\varphi}_n] + \frac{Ag_c \Delta t}{\gamma \lambda_1} \int_L [N]^T [N] dp_1 [\hat{\varphi}_n] + \frac{Ag_c \gamma \Delta t}{\lambda_1} \int_L [B]^T [B] dp_1 [\hat{\varphi}_n] = \\ A \int_L [N]^T [N] dp_1 [\hat{\varphi}_{n-1}] + \frac{A \Delta t K}{\lambda_1} \int_L [N]^T [[B] [\hat{u}_n]]^2 (1 - [N] [\hat{\varphi}_{n-1}]) dp_1 \end{aligned}$$

Parametrizando os termos, temos:

$$\begin{aligned} \frac{A}{L^e} \int_{-1}^1 [N]^T [N] d\xi [\hat{\varphi}_n] + \frac{Ag_c \Delta t}{L^e \gamma \lambda_1} \int_{-1}^1 [N]^T [N] d\xi [\hat{\varphi}_n] + \frac{Ag_c \gamma \Delta t}{\lambda_1 L^e} \int_{-1}^1 [B]^T [B] d\xi [\hat{\varphi}_n] = \\ \frac{A}{L^e} \int_{-1}^1 [N]^T [N] d\xi [\hat{\varphi}_{n-1}] + \frac{A \Delta t K}{\lambda_1 L^e} \int_{-1}^1 [N]^T [[B] [\hat{u}_n]]^2 (1 - [N] [\hat{\varphi}_{n-1}]) d\xi \end{aligned}$$

Colocando o termo do dano  $[\hat{\varphi}_n]$  em evidência e somando as contribuições, encontramos:

$$\begin{aligned}
& \left[ \frac{A}{L^e} \int_{-1}^1 [N]^T [N] d\xi + \frac{Ag_c \Delta t}{L^e \gamma \lambda_1} \int_{-1}^1 [N]^T [N] d\xi + \frac{Ag_c \gamma \Delta t}{\lambda_1 L^e} \int_{-1}^1 [B]^T [B] d\xi \right] [\hat{\varphi}_n] = \\
& \quad \frac{A}{L^e} \int_{-1}^1 [N]^T [N] d\xi [\hat{\varphi}_{n-1}] + \frac{A \Delta t K}{\lambda_1 L^e} \int_{-1}^1 [N]^T [[B][\hat{u}_n]]^2 (1 - [N][\hat{\varphi}_{n-1}]) d\xi \\
K_{e_2} &= \frac{A}{L^e} \int_{-1}^1 [N]^T [N] d\xi + \frac{Ag_c \Delta t}{L^e \gamma \lambda_1} \int_{-1}^1 [N]^T [N] d\xi + \frac{Ag_c \gamma \Delta t}{\lambda_1 L^e} \int_{-1}^1 [B]^T [B] d\xi \\
\hat{f}_2 &= \frac{A}{L^e} \int_{-1}^1 [N]^T [N] d\xi [\hat{\varphi}_{n-1}] + \frac{A \Delta t K}{\lambda_1 L^e} \int_{-1}^1 [N]^T [[B][\hat{u}_n]]^2 (1 - [N][\hat{\varphi}_{n-1}]) d\xi \\
[K_{g_2}] &= A_{i=1}^{nel} [K_{e_2}] \\
[K_{g_2}][\hat{\varphi}_n] &= \hat{f}_2
\end{aligned}$$

### 3 RESULTADOS

A figura (3.1) mostra a evolução do dano ao longo dos nós. Percebe-se que a mudança da geometria entre os elementos gera um fator concentrador de tensões que aumenta o dano de maneira abrupta.

Além disso, o dano é quase que constante ao longo da "alma" (parte central) da barra, com picos apenas na região de mudança de geometria. Na figura (3.2) o dano tem um progresso quase que linear, acelerando o rompimento do material nas últimas iterações.

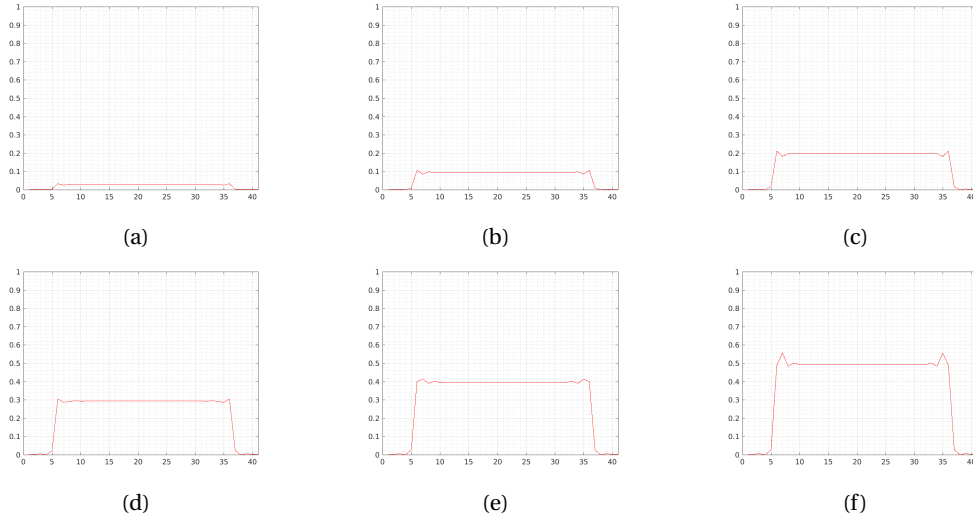


Figura 3.1: Evolução da trinca

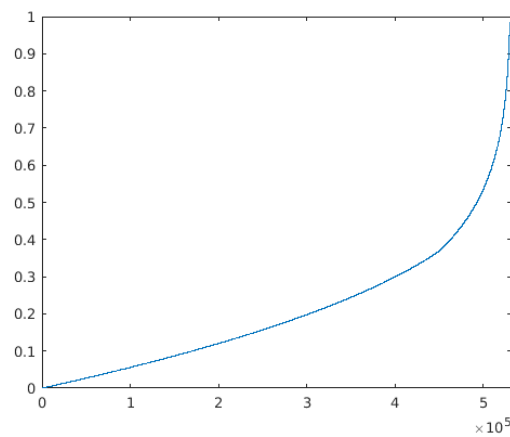


Figura 3.2: Progresso do dano ao longo das iterações

## 4 CONCLUSÃO

No caso estudado sem dano inicial e com seção de barra variável, o dano se concentra na região de mudança de área e se mantém quase que constante ao longo da alma da barra.

## ANEXO

```
% @university: UNIVERSIDADE ESTADUAL DE CAMPINAS
% @school: FACULDADE DE ENGENHARIA MECANICA
% @module: MODELAGEM DE MATERIAIS TERMODINAMICAMENTE CONSISTENTES – IM437 L
% @activity: ATIVIDADE 1.1
%
% @author: DIPL. –ENG RENAN MIRANDA PORTELA
%%%%%%%%%%%%%%%%%%%%%%%%%%%%%%%%%%%%%%%%%%%%%%%%%%%%%%%%%%%%%%%%%%%%%%%%%%

%% Cleaning

clear all
close all
clc

%% Coordinate matrix

nel = 20; % number of elements
coord = zeros(nel,2);
L = 1; %n
```

```

area = ones(nel,1);
base = 1:0.1*nel;
base_2 = 0.9*nel+1:nel;
delta_t = 1e-3;
gamma = L/(2*nel);
area(base) = 10;
area(base_2) = 10;
g_c = 2700;
lambda = 1e-100;
L_e = L/(2*nel);
n = 5; % gaussian points

for i = 1:2*nel+1
    coord(i,1) = i; % number of nodes
    coord(i,2) = (i-1)*L/(2*nel); % x-direction coordinate
end

%% incidence matrix

inci = zeros(nel,6);

for i = 1:nel
    inci(i,1) = i; %number of elements
    inci(i,2) = 1; %material
    inci(i,3) = 1; %geometry
    inci(i,4) = 2*i-1; %node 1
    inci(i,5) = 2*i; %node 2
    inci(i,6) = 2*i + 1; %node 3
end

%% material matrix
      %E      rho  nu
material = [200e9 7000 0.3; %steel [Pa] [kg/m3] []
            70e9 2700 0.27]; %aluminium

%% geometry matrix

nnos = size(coord,1); % number of nodes

if mod(nnos,2) ~= 0

    k = (nnos+1)/2;

else

```

```

    k = nnos/2;

end

phi_dane = zeros(nnos,1);
% phi_dane(k,1) = 1e-2;

%% boundary conditions matrix
% bc=[node | degrees of freedom | value]
%
% DOF 1 --> x
% DOF 2 --> y
% DOF 3 --> z
% DOF 4 --> ox
% DOF 5 --> oy
% DOF 6 --> oz

bc=[1 1 0;
    1 2 0];

%% load matrix

Load=[nnos 1 1000];

%% code

nbc = size(bc,1); % number of boundary conditions
nF = size(Load,1); % number of loads

%% while loop

kk = 0;

conv = 0;
iter = 0;

max_value = zeros(100,1);

[ x, w ] = legendre_set ( n );

figure( 'Name', 'Crack_Bar', 'NumberTitle', 'off' );

while conv == 0

```



```

iter = iter + 1;

pause(1e-6)
plot(phi_dane, 'r')
%      xlim([0 nnos])
grid on
grid minor
axis([0 nnos 0 1])

max_value(iter) = max(phi_dane);

%% Calculando kg

alldof = 1:nnos; % degrees of freedom

kg = zeros(nnos); % global stiffness matrix pre-location

for i = 1 : nel

    node_1 = inci(i,4); % first node
    node_2 = inci(i,5); % second node
    node_3 = inci(i,6); % second node

    x_1 = coord(node_1,2);
    x_2 = coord(node_2,2);
    x_3 = coord(node_3,2);

    A = area(i);

    E = material(inci(i,2),1); % young's module

    loc = [node_1, node_2, node_3];

    ke = 0; % elemental stiffness matrix initiation

    for j = 1 : n % gaussian quadrature integration

        e = x(j);
        peso = w(j);

        N = [-0.5*e*(1-e); (1-e^2); 0.5*e*(1+e)];
        B = [-0.5+e -2*e 0.5+e];

```

```

    phi = phi_dane(loc,1); % elemental dane
    det_J = B*[x_1; x_2; x_3]; % Jacobian 3 nodes element

    ke = ke + peso*E*A/L_e*((1-N'*phi)^2)*B'*B*det_J;

end

kg(loc,loc) = kg(loc,loc) + ke;

end

freedof = alldof;

for k = 1 : size(bc,1) % degrees of freedom
    freedof(bc(k,1)) = 0;
end

%% Calculando F

F = zeros(nnos,1);

for i = 1 : size(Load,1)

    F(Load(i,1)) = Load(i,3);

end

u_n = zeros(size(F,1),1);

kg_aux = sparse(kg(logical(freedof),logical(freedof)));
% column & rows elimination
F_aux = sparse(F(logical(freedof),1)); % column & rows elimination

u_n(logical(freedof),1) = kg_aux\F_aux; % displacement vector

%% dano N-1

F_2 = zeros(nnos,1);

for i = 1 : nel

    node_1 = inci(i,4); % first node
    node_2 = inci(i,5); % second node
    node_3 = inci(i,6); % third node

```

```

x_1 = coord(node_1,2); % location first node
x_2 = coord(node_2,2); % location second node
x_3 = coord(node_3,2);

A = area(i);

E = material(inci(i,2),1); % young's module

loc = [node_1, node_2, node_3];

fe = 0; % force vector initiation

for j = 1 : n % gaussian quadrature integration

    e = x(j);
    peso = w(j);

    N = [-0.5*e*(1-e); (1-e^2); 0.5*e*(1+e)];
    B = [-0.5+e -2*e 0.5+e];

    phi = phi_dane(loc,1); % elemental dane
    u_ele = u_n(loc,1); % elemental deformation

    det_J = B*[x_1; x_2; x_3]; % Jacobian 3 nodes element

    fe = fe + peso*(A/L_e*N*N'*phi*det_J +
    A * delta_t * E / (L_e*lambda) * N * (1 - N'*phi) *
    det_J * (B*u_ele)^2);

end

F_2(loc,1) = F_2(loc,1) + fe;

end

%% dano N

kg_2 = zeros(nnos);

for i = 1 : nel

    node_1 = inci(i,4); % first node
    node_2 = inci(i,5); % second node

```

```

node_3 = inci(i,6); % second node

x_1 = coord(node_1,2); % location first node
x_2 = coord(node_2,2); % location second node
x_3 = coord(node_3,2);

A = area(i);

E = material(inci(i,2),1); % young's module

loc = [node_1, node_2, node_3];

ke_2 = 0; % elemental stiffness matrix initiation

for j = 1 : n % gaussian quadrature integration

    e = x(j);
    peso = w(j);

    N = [-0.5*e*(1-e); (1-e^2); 0.5*e*(1+e)];
    B = [-0.5+e -2*e 0.5+e];

    det_J = B*[x_1; x_2; x_3]; % Jacobian 3 nodes element

    ke_2 = ke_2 + peso*(A/L_e*(N*N'*det_J) +
        g_c*A*delta_t/(gamma*lambda*L_e)*(N*N'*det_J) +
        g_c*A*delta_t*gamma/(lambda*L_e)*(B'*B*det_J));

end

kg_2(loc,loc) = kg_2(loc,loc) + ke_2;

end

phi_n = zeros(size(F_2,1),1);

kg_2_aux = sparse(kg_2(logical(freedof),logical(freedof)));
% column & rows elimination
F_2_aux = sparse(F_2(logical(freedof),1));
% column & rows elimination

phi_n(logical(freedof),1) = kg_2_aux\F_2_aux; % displacement vector

phi_dane = phi_dane + phi_n;

```

```

    if mod(iter , 3000) == 0
        kk = kk + 1;
        filename = sprintf( '%d_%d' , nel , kk);
        saveas(gcf,filename , 'png')
    end

    if max(phi_dane) >= 1
        break
    end

end

figure( 'Name' , 'Crack_Progress' , 'NumberTitle' , 'off' );
plot(max_value)
axis([0 iter 0 1])

```